

خواص مکانیکی، ممانعتی و حرارتی فیلم های نانو کامپوزیت زئین حاوی مونت موریلونیت

زهره داورپناه^{*}، جواد کرامت، ناصر همدانی، محمد شاهدی و طبیه بهزاد^{**}

^{*} نگارنده مسئول: دانشگاه صنعتی اصفهان، اصفهان، ایران. ص. پ: ۸۱۷۴۶-۷۳۴۴۱، تلفن: ۰۳۱(۳۳۹۱۳۴۲۸)، پیامنگار: z.davarpanahvarnosfaderani@gmail.com

^{**} به ترتیب: دانشجوی دکتری صنایع غذایی، دانشیار، استادیار و استاد گروه علوم و صنایع غذایی، دانشکده کشاورزی، دانشگاه صنعتی اصفهان؛ و استادیار دانشکده مهندسی شیمی، دانشگاه صنعتی اصفهان
تاریخ دریافت: ۹۳/۱۲/۱؛ تاریخ پذیرش: ۹۴/۵/۳۱

چکیده

استفاده از نانوپرکننده‌ها راه کاری مناسب به منظور بهبود خواص فیلم‌های بسته‌بندی از جنس بیوپلیمرها است. در این پژوهش، فیلم نانوکامپوزیت زئین- مونت موریلونیت به روشن قالب‌گیری محلول تهیه و خواص ساختاری مکانیکی، ممانعتی و حرارتی آن بررسی شد. نتایج به دست آمده نشان می‌دهد که مطابق الگوهای پراش پرتو ایکس، ساختار کامپوزیت‌های حاصل به صورت ورقه ورقه است. مقدار مونت موریلونیت تأثیر معناداری بر خواص مکانیکی، ممانعتی و حرارتی فیلم زئین دارد. بیشترین مقدار مقاومت کششی (۲۲/۶۲ مگاپاسکال) و ازدیاد طول (۹/۶۵ درصد) به ترتیب مربوط به نانوکامپوزیت‌های زئین حاوی ۱۰ و صفر درصد مونت موریلونیت است. با افزایش میزان مونت موریلونیت از صفر تا ۵ درصد، جذب رطوبت به میزان ۲۸ درصد کاهش می‌یابد؛ در حالی که نفوذپذیری نسبت به بخار آب در مورد فیلم‌های حاوی ۱۰ درصد مونت موریلونیت به طور معناداری افزایش می‌یابد. همچنین، با افزایش میزان مونت موریلونیت از صفر به ۱۰ درصد، دمای تخریب حرارتی فیلم زئین در نقطه مربوط به افت وزن ۵۰ درصد از ۳۵۳ به ۳۷۳ درجه سلسیوس می‌رسد. نتایج حاصل حاکی از بهبود خصوصیات مکانیکی، ممانعتی و حرارتی فیلم زئین در حضور درصدهای مختلف مونت موریلونیت است؛ البته پراکندگی یکنواخت مونت موریلونیت در شبکه فیلم زئینی عامل بسیار مهمی در بهبود خصوصیات فیلم‌های حاصل به شمار می‌رود.

واژه کلیدی

زئین، فیلم نانوکامپوزیت، مونت موریلونیت، نانوپرکننده

(Ray *et al.*, 2006; Rhim,

مقدمه

2007; Almasi *et al.*, 2010) زئین، پروتئین انحلال‌پذیر در الكل موجود در آندوسپرم ذرت، محصول جانبی آسیاب مرطوب ذرت است. زئین ذرت یک پروتئین ترمومولاستیک با طبیعت آبگریز است که این ویژگی به دلیل میزان بالای اسیدهای آمینه غیر قطبی در ساختار آن می‌باشد. این

به دلیل آلودگی‌های زیست محیطی ناشی از مصرف گسترده بسپارهای مشتق شده از منابع نفتی و همچنین به منظور حفظ منابع تجدیدناپذیر، استفاده از بسپارهای زیست‌تخریب‌پذیر به عنوان یک جایگزین مناسب برای بسپارهای مصنوعی در سال‌های اخیر به شدت مورد توجه

Kumar *et al.*, 2010; Mauricio-Iglesias *et al.*, 2010; Song *et al.*, 2013). معمول ترین دسته از موادی که به عنوان نانوپرکننده استفاده شده، کانی‌های رس لایه‌ای مثل مونت موریلوبنیت، هکترویت، ساپونیت و لاپونیت است. مونت موریلوبنیت مهم‌ترین و پرکاربردترین سیلیکات لایه‌ای است که به خاطر زیست‌سازگاری، دسترسی آسان و قیمت پایین به طور گسترده در تولید نانوکامپوزیت‌های زیست‌بسپاری مورد استفاده قرار گرفته است (Nguyen & Baird, 2007; Kumar, 2009) تويوتا در اوخر دهه ۱۹۸۰ ثابت کردند که خواص مکانیکی و تأخیر در اشتعال مواد کامپوزیت نایلون-رس حاوی کمتر از ۵ درصد رس به طور چشم‌گیری افزایش می‌یابد، کارهای تحقیقاتی زیادی در این زمینه انجام شده است (Kumar, 2009; Henriette, 2009; Robinson & Morrison, 2010; Smolander & Chaudhry, 2010; Cabedo *et al.*, 2011). کابدو و همکاران (Bradley *et al.*, 2005) روی نانوکامپوزیت‌هایی از جنس پلی لاكتیک اسید با انواع گوناگون خاک رس آلی مطالعه کرده و خواص مکانیکی حرارتی، مورفولوژی و نفوذ گاز را در آنها بررسی کردند. این تحقیق تأکیدی بر ترغیب کاربرد توأم نانوذرات با مواد زیست‌تخربی‌پذیر بود. در تحقیق دیگری سادرونویت و همکاران (Sothornvit *et al.*, 2009) اثر انواع نانورس را بر خواص فیزیکی- ضد میکروبی فیلم‌های کامپوزیت ایزوله پرتوئین آب پنیر- رس (Rhim *et al.*, 2007) مطالعه کردند. رایم و همکاران (Almasi *et al.*, 2010)، با بررسی خواص فیزیکوشیمیایی فیلم‌های زیست‌تخربی‌پذیر نشاسته - کربوکسی متیل سلولز- نانورس نشان دادند که افزودن مونت موریلوبنیت به میزان ۷ درصد باعث می‌شود استحکام کششی در مقایسه

پرتوئین بالقوه برای فیلم بسته‌بندی زیست‌تخربی‌پذیر (Padua & Qin, 2002; Dangaran *et al.*, 2009; Maria *et al.*, 2012) در مقایسه با بسپارهای سنتزی (که به طور معمول در صنعت بسته‌بندی استفاده می‌شوند)، به دلیل پیوندهای داخلی ضعیف و طبیعت آبدوستشان، خواص مکانیکی و ممانعتی ضعیف‌تری نشان می‌دهند و به همین دلیل استفاده از آنها به عنوان مواد بسته‌بندی غذایی محدود شده است (Avella *et al.*, 2004; Rhim, *et al.*, 2006; Ray *et al.*, 2006; Rhim, 2007; Sorrentino *et al.*, 2007; Almasi *et al.*, 2010; Kumar *et al.*, 2010; Lagaron, 2010; Lagron *et al.*, 2011) روش‌های مختلفی برای بهبود فیلم‌های زیست‌تخربی‌پذیر وجود دارد که از میان آنها می‌توان به افزودن ترکیبات آبگریز، افزودن نرم‌کننده، مخلوط کردن با بسپارهای سنتزی و افزودن پرکننده‌های با خواص ویژه اشاره کرد (Ray *et al.*, 2006). به طور سنتی، پرکننده‌های معدنی مثل رس، سیلیکا و تالک برای کاهش قیمت یا بهبود کارایی فیلم‌های زیست‌تخربی‌پذیر، به میزان ۱۰ تا ۵۰ درصد وزنی، به ترکیب فیلم افزوده می‌شوند. با این حال در حضور پرکننده‌ها، استحکام مکانیکی فیلم‌ها کاهش می‌یابد. موفقیت فوق العاده نانوکامپوزیت‌ها در زمینه بهبود خواص بسپارهای سنتزی منجر شده است به این که گرایش به تحقیقات در تولید نانوکامپوزیت‌هایی با شبکه‌ای از جنس بسپارهای تجزیه‌پذیر افزایش یابد. نانوکامپوزیت‌ها به دلیل خواص مکانیکی و فیزیکی بهتر مانند افزایش مدول و استحکام کششی، کاهش نفوذ‌پذیری نسبت به گاز، افزایش انحلال‌پذیری و مقاومت حرارتی و کاهش اشتعال‌پذیری در مقایسه با انواع فیلم‌های زیست‌تخربی‌پذیر معمول، امرозه به عنوان جایگزین بسپارهای پر شده به طور سنتی مورد توجه قرار گرفته‌اند (Marlene *et al.*, 2004; Sothornvit *et al.*, 2009;

آماده شده روی یک قالب تفلون ریخته و به مدت ۲۴ ساعت در آون (ممتر، ساخت آلمان) با دمای ۳۰ درجه سلسیوس خشک شد (Sothornvit *et al.*, 2009).

تعیین ضخامت

ضخامت فیلم های تهیه شده با استفاده از میکرومتر Electronic digital micrometer, DC- 516,) حساسیت ۰/۰۰۱ میلی متر) اندازه گیری شد. حداقل ۱۰ نقطه متفاوت فیلم اندازه گیری و میانگین اعداد به دست آمده گزارش شد (Almasi *et al.*, 2010).

آزمون پراش پرتو ایکس

به منظور مطالعه ریز ساختار فیلم های کامپوزیت و برای تعیین پراکنش خاک رس در شبکه زئین، از آزمون پراش پرتو ایکس استفاده شد (Ma *et al.*, 2009; Moura & Aouada, 2009; Almasi *et al.*, 2010; Chang *et al.*, 2010; Schmidt *et al.*, 2011). برای اجرای آزمون، مولد پرتو ایکس D8ADVANCE ساخت شرکت بروکر آلمان در ۳۰ کیلو ولت و ۳۰ میلی آمپر تنظیم شد. پرتوهای بازتابشی از نمونه، در دمای محیط و در محدوده زاویه ۱۰°-۲۰° جمع آوری و الگوهای مربوط رسم شد. برای تعیین فاصله بین لایه ها از قانون برآگ استفاده شد:

$$\lambda = 2d \sin \theta \quad (1)$$

که در آن،

d = فاصله بین لایه های بلوری (نانومتر)، λ = طول موج دستگاه؛ و θ = زاویه ای است که قله پراش مشاهده می شود.

مطالعه ریز ساختار فیلم با استفاده از میکروسکوپ نیروی اتمی^۲

شكل شناسی سطح فیلم با استفاده از میکروسکوپ نیروی اتمی (مدل Nano S 1.1 Nano S آلمان) ساخت شرکت بروکر (آلمان) مطالعه شد. یک پایه Si_3N_4 با ثابت فنر ۰/۲ نیوتون

با کامپوزیت های زیستی نشاسته- کربوکسی متیل سلولز سه برابر شود. در این پژوهش فیلم نانو کامپوزیت زئین- مونت موریلوبنیت به روش قالب گیری محلول تهیه و خواص، مکانیکی، ممانعتی و حرارتی آن در مقایسه با فیلم زئین تنها که در فیلم های بسته بندی چند لایه به کار می رود، بررسی شد.

مواد و روش ها

پودر زئین از شرکت Suvchem هند، مونت موریلوبنیت اصلاح شده از شرکت سیگما- آلدريج (Milwaukee, WI, USA)؛ گیلیسروول و کلرید کلسیم از شرکت مرک آلمان و پلی اتیلن گلیکول ۴۰۰۰ و اتانول ۹۶ درصد از شرکت سپاهان طب در اصفهان خریداری شد.

آماده سازی کامپوزیت زئین- مونت موریلوبنیت

در مرحله اول، فیلم زئین- مونت موریلوبنیت به روش قالب گیری محلول تهیه شد. در این روش، فیلم های نانو کامپوزیت از جنس زئین و مقادیر ۰، ۱، ۳، ۵، ۱۰ درصد وزنی مونت موریلوبنیت آماده شدند. در این فرایند، ۸ گرم زئین، ۰/۱۲ گرم پلی اتیلن گلیکول و ۰/۱۲ گرم گیلیسروول (هر دو به عنوان نرم کننده) در ۴۰ میلی لیتر محلول آبی اتانول ۷۵ درصد با دمای ۵۰-۴۵ درجه سلسیوس حل شد. میزان مشخصی (۰، ۱، ۳، ۵ و ۱۰ درصد) مونت موریلوبنیت جداگانه در ۱۲ میلی لیتر محلول اتانول ۷۵ درصد پراکنده و به مدت ۱۵ دقیقه با همزن فراصوت (400 Heischler RH basic IKA) ساخت آلمان) با توان ۳۰۰ وات هم زده شد. سپس دو مخلوط با هم ترکیب و پس از هم زدن با همزن مغناطیسی (2) آلمان) تا دمای ۶۰ درجه سلسیوس حرارت داده شد. آنکه زئین به محلول اتانول ۱:۶/۵ (وزنی / حجمی) بود. مخلوط زئین- مونت موریلوبنیت قبل از قالب گیری مجدداً به مدت ۵ دقیقه با همزن فراصوت هم زده شد. محلول

نفوذپذیری نسبت به بخار آب

نفوذپذیری فیلم نسبت به بخار آب طبق روش استاندارد ASTM به شماره E96 اندازه‌گیری شد (Rhim, 2006; Kumar, 2009; Almasi *et al.*, 2010)

برای این کار، از ظروف شیشه‌ای ویژه‌ای با قطر ۲ سانتی‌متر و ارتفاع ۴/۵ سانتی‌متر استفاده شد. روی درپوش این ظروف منفذی به قطر ۸ میلی‌متر ایجاد شده است. سه گرم کلرید کلسیم که رطوبت نسبی معادل صفر ایجاد می‌کند در داخل هر ظرف ریخته شد. ابتدا فیلم‌ها در رطوبت نسبی ۵۵ درصد که با استفاده از نیترات منیزیم اشباع با ۶ مولکول آب ایجاد شده بود، به مدت ۲۴ ساعت رطوبت داده شدند. پس از آن قطعه‌ای از فیلم در داخل درپوش ظرف شیشه‌ای قرار داده شد. ظرف شیشه‌ای همراه با محتویات آن توزین و درون خشکانه حاوی آب مقطع گذاشته شد. آب مقطع در دمای ۲۵ درجه سلسیوس، رطوبت نسبی ۱۰۰ درصد ایجاد می‌کند. خشکانه درون انکوباتور با دمای 25 ± 1 درجه سلسیوس قرار گرفت و به مدت یک هفته هر ۲۴ ساعت یک بار ظروف توزین شدند. مقدار بخار آب انتقال یافته از روی افزایش وزن ظرف‌ها معین شد. منحنی افزایش وزن ظرف‌ها با گذشت زمان رسم و پس از محاسبه برگشت خطی، شبی خط حاصل محاسبه شد. از تقسیم شبی خط مربوط به هر ظرف به سطح کل فیلم که در معرض انتقال بخار آب قرار دارد، سرعت انتقال بخار آب^۱ محاسبه و با استفاده از رابطه^۲، نفوذپذیری نسبت به بخار آب^۳ محاسبه شد (Rhim *et al.*, 2006; Rhim, 2007; Moura & Aouada, 2009; Kumar *et al.*, 2010; Schmidt *et al.*, 2011)

$$WVP = WVTR \times T / P(R_1 - R_2) \quad (4)$$

که در آن،

$WVTR$ = سرعت انتقال بخار آب (گرم/مترمربع × ساعت)؛

بر متر و یک نوک ۷ شکل با طول ۴۵۰ میکرومتر روی نمونه قرار داده شد و در شرایط محیط تصاویر به دست آمد (Ghanbarzadeh *et al.*, 2008).

طیفسنجی تبدیل فوریه مادون قرمز^۴

حدود ۲ میلی‌گرم از نمونه به صورت دستی آسیاب شد و پس از مخلوط کردن با برومید پتاسیم به نسبت ۱:۱۰۰ با پرس به قرصی به ضخامت یک میلی‌متر تبدیل شد. سپس آزمون طیفسنجی با استفاده از طیفسنج مادون قرمز ۲۷ (Tensor 27) ساخت شرکت بروکر (Chen *et al.*, 2001; Ozcalik & Tihminlioglu, 2013) در محدوده عدد موجی ۵۰۰ تا ۴۰۰۰ بر سانتی‌متر اجرا شد.

خصوصیات مکانیکی

استحکام کششی (TS) و درصد کشیدگی در نقطه شکست (E) فیلم‌ها با استفاده از تست‌های کششی، با دستگاه تحلیل بافت (SANTAM STM-20, Iran) و طبق استاندارد ASTM به شماره D882-02 انجام و محاسبه شد (رابطه‌های ۲ و ۳) (Almasi *et al.*, 2010). مقاومت به کشش، حداقل تنش کششی است که هر ماده می‌تواند تحمل کند بی آنکه که دچار کرنش دائمی شود. درصد کشیدگی تا نقطه شکست نیز انعطاف‌پذیری فیلم را نشان می‌دهد.

$$\frac{\text{بیشنه نیروی وارد شده (نیوتون)}}{\text{مقاومت کششی}} = \frac{\text{سطح مقطع (متر مربع)}}{(2)}$$

$$\frac{\text{تغییر طول}}{\text{طول اولیه}} = \frac{\text{درصد کشش‌پذیری تا نقطه پاره شدن}}{\times 100} \quad (3)$$

1- Fourier Transfer Infra-Red (FTIR)

3- Water Vapor Permeability (WVP)

2- Water Vapor Transmission Rate (WVTR)

(Singh *et al.*, 2000; Marlene *et al.*, 2004)

- تغییر نیافتن فاصله بین صفحات رس در شبکه بسپار که بیانگر ایجاد ساختار میکروکامپوزیت است. طبق قانون برآگ، قله مربوط به خاک رس در همان زاویه دیده می شود.

- کاهش فاصله بین لایه های رس پراکنده در شبکه بسپار که بیانگر تجزیه ساختار کامپوزیت است. در این حالت طبق قانون برآگ، قله مربوط به رس به زاویه های بالاتر انتقال می یابد.

- افزایش فاصله بین لایه های رس پراکنده در شبکه بسپار که بیانگر ایجاد نانو کامپوزیت با ساختار بین لایه ای^۳ است. بر اساس قانون برآگ، قله مربوط به خاک رس به زاویه های کوچکتر جایه جا می شود.

- افزایش خیلی زیاد فاصله لایه های رس و ایجاد قله بسیار پهن که بیانگر ایجاد نانو کامپوزیت با ساختار ورقه ای^۳ است. در این حالت، قله مربوط به خاک رس ناپدید می شود. الگوهای پراش پرتو ایکس برای مونت موریللونیت و کامپوزیت های حاوی ۰، ۱، ۳، ۵ و ۱۰ درصد مونت موریللونیت در شکل ۱ آورده شده است. چنانچه مشاهده می شود، در مورد مونت موریللونیت یک قله در زاویه پراش ۲۰=۴/۸° دیده می شود و بنابراین طبق قانون برآگ فاصله بین لایه های ۱۸/۲۷ آنگستروم محاسبه شد. مطابق با الگوهای پراش پرتو ایکس مربوط به فیلم های زئین حاوی مونت موریللونیت، قله مربوط به مونت موریللونیت حذف شد که بیانگر این است که ساختار کامپوزیت های حاصل نانو کامپوزیت ورقه ای است. این نتایج با نتایج بررسی های (Ray *et al.*, 2006; Kumar *et al.*, 2010; Malekpour & Dinari, 2012; Farhoodi *et al.*, 2013; Ozcalik & Tihminlioglu, 2013)

= ضخامت فیلم (میلی متر)، P = فشار بخار جزیی آب در دمای ۲۵ درجه سلسیوس (۲۶۴۲ کیلوپاسکال)، R_1 = رطوبت نسبی در خشکانه (۱۰۰ درصد)، و R_2 = رطوبت نسبی در ظرف (صفر درصد) است. این آزمون برای هر یک از نمونه ها سه بار تکرار شد.

خصوصیات حرارتی

پایداری حرارتی فیلم های کامپوزیت با استفاده از دستگاه گرمای وزنی سنج^۱ (Q500, TA instrument, Rheometric Scientific, USA) در اتمسفر آرگون بررسی شد. نمونه ها از دمای ۲۰ تا ۵۰۰ درجه سلسیوس با سرعت حرارت دهی ۱۰ درجه سلسیوس در دقیقه حرارت داده شدند (Kumar *et al.*, 2010).

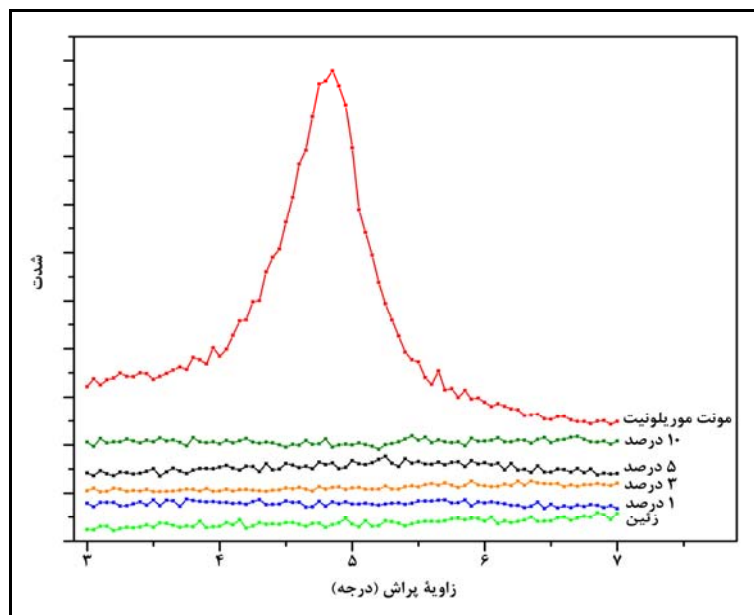
تجزیه و تحلیل داده ها

برای تجزیه و تحلیل آماری داده ها، تمام آزمایش ها در سه تکرار اجرا شد. تجزیه و تحلیل داده های آزمایش در بخش تأثیر مقادیر مونت موریللونیت بر خصوصیات مکانیکی و نفوذ پذیری نسبت به بخار آب در قالب طرح آماری بلوك های کامل تصادفی با استفاده از نرم افزار SAS (9.1) انجام گرفت.

نتایج و بحث

خصوصیات ساختاری آزمون پراش پرتو ایکس

رایج ترین روش برای تعیین میزان پراکندگی لایه های رس نفوذ کننده در شبکه بسپار، روش پراش پرتو ایکس است که طی آن با استفاده از قانون برآگ، فاصله بین صفحات رس پراکنده در شبکه بسپار اندازه گیری می شود. بر اساس تغییر در فاصله صفحات رس چهار الگوی پراش



شکل ۱- الگوهای پراش پرتو ایکس مونت موریلونیت، فیلم زئین و فیلم‌های کامپوزیت حاوی مونت موریلونیت

سطح ($R_a = 23/7$ نانومتر و $R_{ms} = 29/5$ نانومتر) می‌شود

ولی زبری سطح فیلم حاوی ۱۰ درصد مونت موریلونیت کمتر از زبری سطح فیلم خالص زئین است (Ghanbarzadeh *et al.*, 2008)

همان طور که در شکل ۲ مشاهده می‌شود، توزیع اندازه گلbulوهای زئین با افزودن مونت موریلونیت یکنواخت‌تر شده است که می‌توان این پدیده را به پراکنش صفحات رس در شبکه زئین و ممانعت از به هم چسبیدن گلbulوهای زئین ارتباط داد. وانگ و همکاران نیز (Wang *et al.*, 2009) نانوکامپوزیت پلی لوریل اکریلیت^۳ و نانورس (لاپونیت) Laponite را مطالعه و گزارش کردند که نانوصفحات رس روی ذرات بسپار قرار می‌گیرند و ذرات هیبریدی بزرگتری تشکیل می‌دهند. این پدیده در مورد نانوکامپوزیت‌های زئین-مونت موریلونیت نیز قابل انتظار است.

آزمون AFM

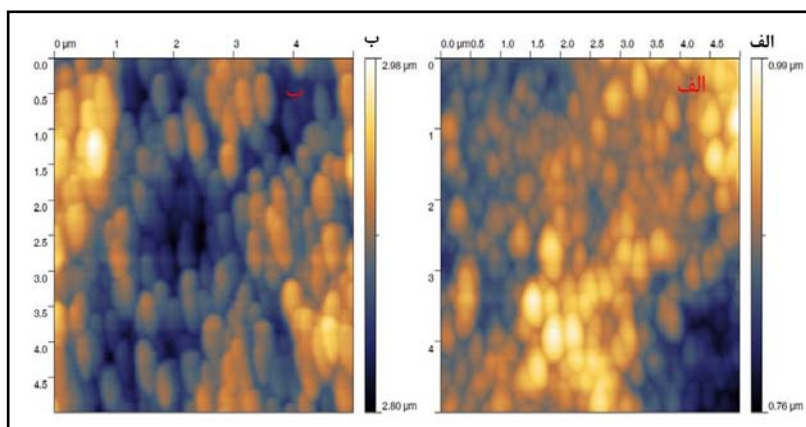
شکل شناسی سطح فیلم‌ها و مقدار زبری آنها با آزمون AFM بررسی شد (شکل ۲). شکل ۲ نشان می‌دهد، فیلم خالص زئین دارای شبکه‌ای غیر یکنواخت، سطحی تقریباً ناصاف و با پستی و بلندی‌های زیاد ($R_a = 27/7$ نانومتر و $R_{ms} = 36/7$ نانومتر) است. تصاویر حاصل از این آزمون نشان می‌دهد که، ریز ساختار سطح فیلم‌های نانوکامپوزیت، به طور قابل توجهی تحت تأثیر میزان مونت موریلونیت قرار دارد یعنی با افزایش میزان مونت موریلونیت، زبری سطح فیلم‌ها کاهش می‌یابد؛ به طوری که با افزودن یک و سه درصد مونت موریلونیت فاکتور R_a به ترتیب به $17/4$ و $17/8$ نانومتر و فاکتور R_{ms} به $23/1$ و $22/7$ نانومتر کاهش می‌یابد. مشاهده شده است که افزایش میزان مونت موریلونیت تا ۱۰ درصد، نسبت به سایر نانوکامپوزیت‌های تهیه شده، منجر به افزایش زبری

1- Average Surface Roughness

3- Poly Lauryl Acrylate (PLA)

2- Root Mean Squared

خواص مکانیکی، ممانتی و حرارتی فیلم های نانو...

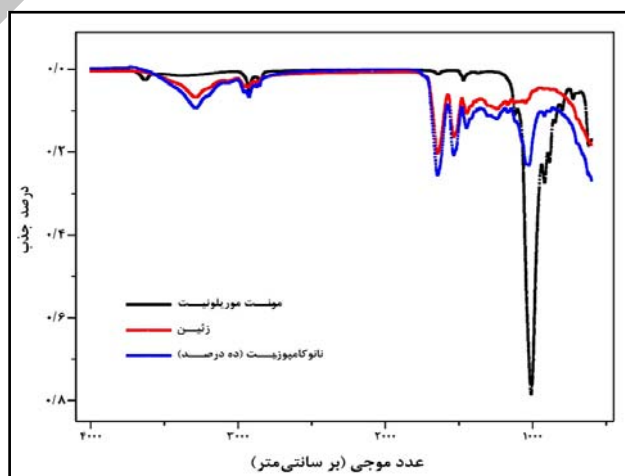


شکل ۲- تصاویر میکروسکوپ نیروی اتمی (الف) فیلم زئین خالص و (ب) فیلم کامپوزیت زئین حاوی ده درصد مونت موریلونیت

نتیجه جدا شدن لایه های رس است. همان طور که در شکل ۲ دیده می شود، در ناحیه ۱۴۷ بر سانتی متر در طیف مونت موریلونیت یک پیک مربوط به پیوند C-H گروه های عاملی روی سطح مونت موریلونیت وجود دارد؛ این پیک در طیف نانوکامپوزیت حذف شده است که می تواند به دلیل ایجاد پیوند هیدروژنی باشد. پیک دیگری در طیف مونت موریلونیت و در ناحیه ۳۶۳۵ بر سانتی متر دیده می شود که مربوط به گروه های OH آزاد است و در نانوکامپوزیت ناپدید شده است. حذف این پیک بیانگر شرکت کردن این گروه ها در پیوندهای هیدروژنی است (Chen *et al.*, 2001; Ozcalik & Tihminlioglu, 2013).

آزمون FTIR

طیف FTIR مربوط به مونت موریلونیت، فیلم زئین و نانوکامپوزیت زئین- مونت موریلونیت در شکل ۳ دیده می شود. باند کششی سیلیکون- اکسیژن (Si-O) در ناحیه ۹۵۰ تا ۱۱۰۰ بر سانتی متر پیک می دهد. این باند اهمیت ویژه ای در نانوکامپوزیت های حاوی سیلیکات های لایه ای دارد. این باند جذبی در سیلیکات های لایه ای باز نشده (تجمع یافته) گستردگ است، در حالی که با افزایش ورقه ای شدن رس در نانوکامپوزیت ها، پیک مربوط به آن باریک شود. به علاوه باند O-Si-O در نانوکامپوزیت های زئین - مونت موریلونیت به عدد موجی بالاتر جا به جا شد که به دلیل قوی تر شدن این پیوند و به احتمال زیاد در

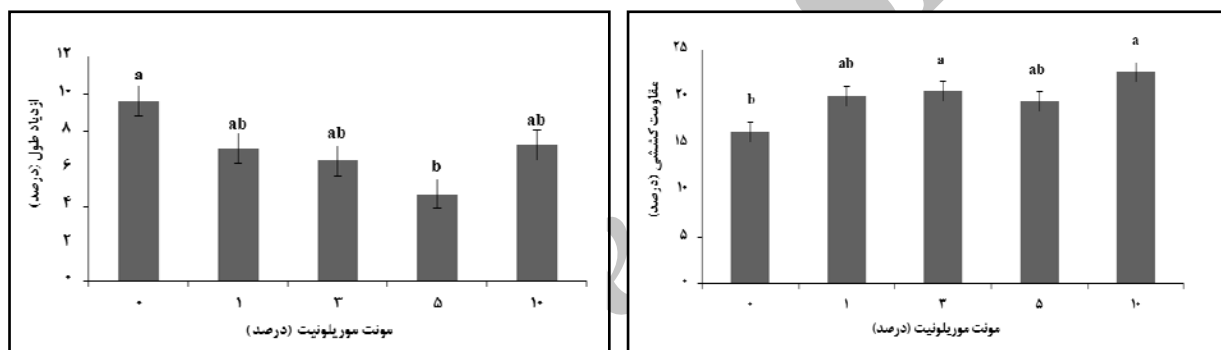


شکل ۳- طیف های FTIR مونت موریلونیت، فیلم زئین و فیلم کامپوزیت زئین حاوی مونت موریلونیت

درصد) به ترتیب در نانوکامپوزیت‌های زئین حاوی ۱۰ و صفر درصد مونت موریلیونیت دیده می‌شود. افزایش فاصله لایه‌های مونت موریلیونیت و وارد شدن زنجیره بسپاری به داخل لایه‌های مونت موریلیونیت به صورت بین لایه‌ای و پوسته‌ای باعث بهبود خواص مکانیکی نانوکامپوزیت‌ها می‌شود. همچنین، دلیل بهبود خصوصیات مکانیکی این فیلم‌ها را می‌توان به وجود رس با نسبت منظر بالا و در نتیجه افزایش ناحیه بین سطحی بسپار و پرکننده و برقراری پیوندهای هیدروژنی قوی بین دو فاز مرتبط دانست (Kumar *et al.*, 2010; Majdzadeh *et al.*, 2010).

خصوصیات مکانیکی

نتایج مربوط به خصوصیات مکانیکی فیلم زئین و کامپوزیت‌های حاوی زئین و مونت موریلیونیت شده در شکل ۴ ارائه شده است. میزان مقاومت کششی و درصد ازدیاد طول برای فیلم زئین فاقد مونت موریلیونیت به ترتیب برابر $16/24$ مگاپاسکال و $9/65$ درصد است. تجزیه و تحلیل داده‌ها نشان می‌دهد که افزایش میزان مونت موریلیونیت تأثیر معنی‌داری بر مقاومت کششی و درصد ازدیاد طول فیلم‌های زئین دارد. بیشترین میزان مقاومت کششی ($22/62$ مگاپاسکال) و درصد ازدیاد طول ($9/65$)



شکل ۴- خصوصیات مکانیکی فیلم زئین و فیلم‌های کامپوزیت زئین حاوی مونت موریلیونیت
(میانگین‌ها با حروف مشترک در سطح احتمال ۵ درصد اختلاف معنی‌دار ندارند).

که این کاهش با نتایج ذکر شده در منابع (کیتوزان- مونت موریلیونیت: $25/4$ درصد (Rhim, 2007)، نشاسته- مونت موریلیونیت: $34/2$ درصد (Tang *et al.*, 2008) و ایزوله پروتئین سویا- مونت موریلیونیت: $22/1$ درصد ایزوله پروتئین سویا- مونت موریلیونیت (Kumar *et al.*, 2010))، قابل مقایسه است. کاهش نفوذپذیری نسبت به رطوبت در حضور ذرات مونت موریلیونیت به دلیل نسبت منظر بالای صفحات رس و بنابراین افزایش طول مسیر عبور مولکول‌های بخار آب از درون بسپار و به تأخیر انداختن فرایند انتشار در شبکه پروتئینی است (Rhim, 2007; Ray *et al.*, 2006).

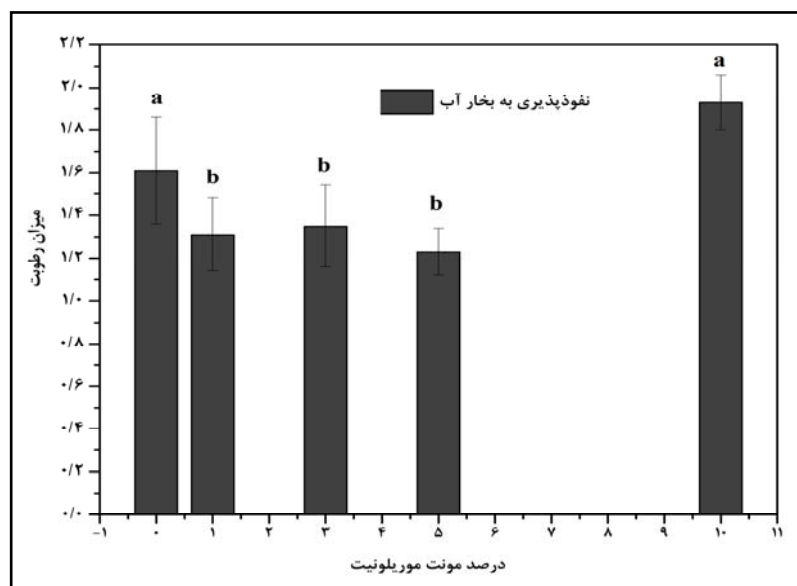
نفوذپذیری نسبت به بخار آب در مورد فیلم‌های حاوی ۱۰ درصد مونت موریلیونیت به طور معنی‌داری افزایش

نفوذپذیری نسبت به بخار آب

میزان جذب آب نانوکامپوزیت‌های تهیه شده که با استفاده از آزمون نفوذپذیری نسبت به بخار آب اندازه‌گیری شد، در شکل ۵ آورده شده است. کمترین میزان نفوذپذیری ($1/23$ گرم × میلی‌متر / متر مربع × ساعت × کیلوپاسکال) و بیشترین میزان نفوذپذیری ($1/93$ گرم × میلی‌متر / متر مربع × ساعت × کیلوپاسکال) به بخار آب به ترتیب مربوط به فیلم‌های حاوی ۵ و ۱۰ درصد مونت موریلیونیت است. همان طور که در شکل ۵ دیده می‌شود، با افزایش میزان مونت موریلیونیت از صفر درصد (فیلم زئین فاقد مونت موریلیونیت) به ۵ درصد، جذب رطوبت از $1/73$ به $1/23$ (حدود 28 درصد) کاهش می‌یابد

بستگی دارد. کمترین میزان نفوذپذیری نسبت به بخار آب در شرایطی حاصل می‌شود که صفحات رس عمود بر مسیر انتشار آرایش یابند و چنانچه زاویه قرارگیری صفحات از این حالت تغییر یابد، میزان نفوذپذیری نسبت به بخار آب افزایش می‌یابد (Bharadwaj, 2001).

می‌یابد. این افزایش را می‌توان به طبیعت آبدوست مونت موریلوبنیت و همچنین آرایش صفحات رس در شبکه بسپار ارتباط داد. نفوذپذیری نسبت به بخار آب علاوه بر این که تحت تأثیر ساختار نانوکامپوزیت (بین لایه‌ای، ورقه‌ای) قرار دارد، به نحوه آرایش صفحات رس در شبکه بسپار نیز

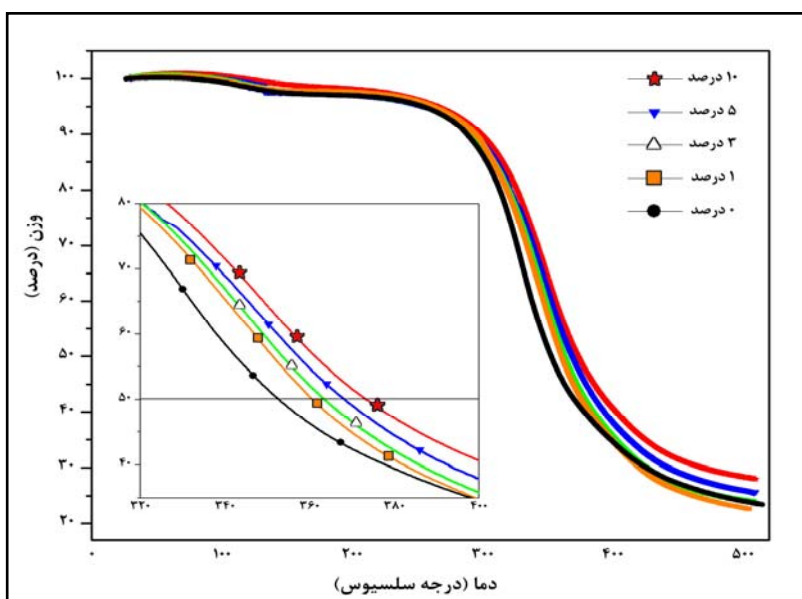


شکل ۵- نفوذپذیری نسبت به بخار آب فیلم زئین و فیلم های کامپوزیت زئین حاوی مونت موریلوبنیت
(میانگین‌ها با حروف مشترک در سطح احتمال ۵ درصد اختلاف معنی دار ندارند.)

۳۵۳ به ۳۷۳ درجه سلسیوس افزایش می‌یابد. طبق این شکل با افزایش میزان مونت موریلوبنیت دمای تخریب حرارتی افزایش یافت که نشان دهنده توزیع مناسب لایه‌های مونت موریلوبنیت در شبکه پروتئینی است که به عنوان سد حرارتی مناسب عمل می‌کند (Rhim *et al.*, 2006, 2007; Song *et al.*, 2013) طبق نتایج به دست آمده از تحقیقات کومار (Kumar, 2009)، با افزایش میزان مونت موریلوبنیت از صفر به ۵ درصد، دمای افت وزن ۵۰ درصد از $\frac{355}{3}$ به $\frac{377}{3}$ درجه سلسیوس افزایش می‌یابد.

خصوصیات حرارتی

نمودار TGA به منظور شرح پایداری حرارتی کامپوزیتها با اندازه‌گیری کاهش وزن حاصل از تشکیل مواد فرار استفاده می‌شود. شکل ۶ دو مرحله تخریب حرارتی را نشان می‌دهد. مرحله اول مربوط است به کاهش وزن ترکیبات با وزن مولکولی کم مانند نرم‌کننده و حلal از دمای ۷۰ تا ۱۸۰ درجه سلسیوس و مرحله دوم (۲۷۰ تا ۴۳۰ درجه سلسیوس) مربوط به تخریب پروتئین است. با افزایش میزان مونت موریلوبنیت از صفر به ۱۰ درصد، دما در نقطه مربوط به افت وزن ۵۰ درصد از



شکل ۶- نمودار TGA فیلم زئین و فیلم‌های کامپوزیت زئین حاوی مونت موریلونیت

نظر، بهترین سطح مونت موریلونیت ۲/۸۴ درصد به دست آمد. با اعمال این شرایط خصوصیات فیلم نانوکامپوزیتی زئین به صورت مقادیر ارائه شده در جدول ۱ پیش‌بینی شده است. مقادیر واقعی حاصل از اندازه‌گیری نیز در جدول ۱ آورده شده است که به طور کلی با مقادیر پیش‌بینی شده تطابق خوبی را نشان می‌دهند.

بهینه‌سازی پارامترهای مؤثر

به منظور تولید فیلم زئین با ویژگی‌های مطلوب مورد نظر جهت کاربرد در صنعت بسته‌بندی مواد غذایی، بهینه‌سازی به صورت مطالعه سطح پاسخ تک فاکتوری با استفاده از نرم‌افزار Design Expert با توجه به نتایج به دست آمده انجام شد. به منظور حصول ویژگی‌های مورد

جدول ۱- مقادیر پیش‌بینی شده و اندازه‌گیری شده در شرایط بهینه

مطلوبیت	دماهی افت وزن درصد ازدیاد ۵۰	طول	استحکام کششی	نفوذپذیری نسبت به بخار آب	درصد مونت موریلونیت	مقادیر پیش‌بینی شده
۰/۷۴	۳۶۳/۵۶	۵/۹۶	۲۱/۱۴	۱/۲۸	۲/۸۴	مقادیر پیش‌بینی شده
	۳۶۳/۴۵	۶/۴۱	۲۰/۵۸	۱/۳۵	۳	مقادیر اندازه‌گیری شده

به دست آمده از آزمون FTIR، تعامل بین مونت موریلونیت و شبکه زئین بیشتر از طریق پیوندهای هیدروژنی است. میزان مونت موریلونیت تأثیر معنی‌داری بر خواص مکانیکی، حرارتی و نفوذپذیری نسبت به بخار آب فیلم‌ها دارد که این امر به دلیل پراکنده شدن لایه‌های

نتیجه‌گیری

در الگوهای پراش پتروایکس نانوکامپوزیت‌های حاصل، قله مربوط به مونت موریلونیت حذف شده است که بیانگر پراکنش خوب لایه‌های مونت موریلونیت در شبکه زئین و ایجاد ساختار ورقه‌ای است. همچنین، طبق نتایج

پلی ساکاریدی نیز استفاده می شود. از آنجا که فیلم های تهیه شده از زیست پلیمرها مثل سایر فیلم های پروتئینی و پلی ساکاریدی از نظر خواص مکانیکی و ممانعت در برابر بخار آب عملکرد ضعیفی دارند، برابر نتایج به دست آمده از تحقیقات ترکیب آنها با فیلم زئین به دلیل خواص مکانیکی مناسب (مقاومت کششی بالا و کشش پذیری کم) و نفوذ پذیری ناچیز در برابر بخار آب، می تواند راه حل مناسبی برای بهبود خواص این فیلم ها باشد.

مونت موریلونیت در شبکه پروتئینی و مدول الاستیسیته بالای آن است. بنابراین می توان نتیجه گرفت که اثر تقویت کنندگی مونت موریلونیت اصلاح شده روی خواص فیلم زئین می تواند کاربرد زیست بسپار زئین را به عنوان جایگزین بسپارهای مصنوعی افزایش دهد. زئین ذرت علاوه بر اینکه به عنوان پوشش و فیلم به صورت مسقل در بسته بندی مواد غذایی به کار می رود، برای تهیه فیلم های چند لایه با فیلم های زیست تخریب پذیر دیگر به خصوص انواع پروتئینی و

مراجع

- Almasi, H., Ghanbarzadeh, B. and Entezami, A. A. 2010. Physicochemical properties of starch-CMC-nanoclay biodegradable films. *Int. J. Biol. Macromol.* 46, 1-5.
- Avella, M. De Vlieger, J. and Fischer, S. 2004. Biodegradable starch/clay nanocomposite films for food packaging applications. *Food Chem.* 93, 467-474.
- Bharadwaj, R. K. 2001. Modeling the Barrier Properties of Polymer-Layered Silicate Nanocomposites. *Macromol.* 34, 9189-9192.
- Bradley, E. L., Castle, L. and Chaudhry, Q. 2011. Applications of nanomaterials in food packaging with a consideration of opportunities for developing countries. *Trends Food Sci. Tech.* 22, 604-610.
- Cabedo, L., Lagaron, J. M. and Saura, J. J. 2005. Development of amorphous PLA-montmorillonite nanocomposites. *J. Mater. Sci.* 40, 1785-1788.
- Chang, P. R., Jian, R., Yu, J. and Ma, X. 2010. Starch-based composites reinforced with novel chitin nanoparticles. *Carbohyd. Polym.* 80, 420-425.
- Chen, G., Liu, S., Chen, S. and Qi, Z. 2001. FTIR spectra, thermal properties, and dispersibility of a polystyrene/montmorillonite nanocomposite. *Macromol. Chem. physics.* 202, 1189-1193.
- Dangaran, K., Tomasula, P. M. and Qi, P. 2009. Structure and function of protein-based edible films and coatings. In: Embuscado M. E. and Huber K. C. (Eds) *Edible films and coatings for food applications*, Springer, USA, 25-57.
- Farhoodi, M., Mousavi, S. M., Sotudeh-Gharebagh, R., Emam-Djomeh, Z. and Oromiehie, A. 2013. Migration of aluminum and silicon from PET/clay nanocomposite bottles into acidic food stimulant. *Packag. Technol. Sci.* 27, 161-168.
- Ghanbarzadeh, B. and Oromiehie A. 2008. Biodegradable biocomposite films based on whey protein and zein: Barrier, mechanical properties and AFM analysis. *Int. J. Biol. Macromol.* 43, 203-215.
- Henriette, M. C. 2009. Nanocomposites for food packaging applications. *Food Res. Int.* 42, 1240-1253.
- Kumar, P. 2009. Development of bio-nanocomposite films with enhanced mechanical and barrier properties using extrusion processing. A dissertation submitted to the graduate faculty of North Carolina State University in partial fulfillment of the requirements for the degree of Doctor of Philosophy, 1-280.
- Kumar, P., Sandeep, K. P., Alavi, S. V., Truong, D. and Gorga, R. E. 2010. Preparation and characterization of bio-nanocomposite films based on soy protein isolate and montmorillonite using melt extrusion. *J. Food Eng.* 100, 480-489.

- Lagaron, L. M. 2010. Natural micro and nanobiocomposites with enhanced barrier properties and novel functionalities for food biopackaging applications. *Trends Food Sci. Tech.* 21, 528-536.
- Lagaron, L. M. and Lopez-Rubio, A. 2011. Nanotechnology for bioplastics: opportunities, challenges and strategies. *Trends Food Sci. Tech.* 22, 611-617.
- Ma, X., Chang, P. R., Yang, J. and Yu, J. 2009. Preparation and properties of glycerol plasticized-peastarch/zinc oxide-starch bionanocomposites. *Carbohyd. Polym.* 75, 472-478.
- Majdzadeh, K. and Nazari, B. 2010. Improving the mechanical properties of thermoplastic starch/poly (vinyl alcohol)/clay nanocomposites. *Compos. Sci. Technol.* 70, 1557-1563.
- Malekpour, S. and Dinari, M. 2012. Polymer/organosilica nanocomposites based on polyimide with benzimidazole linkages and reactive organoclay containing isoleucine amino acid: Synthesis, characterization and morphology properties. *Mater. Res. Bull.* 47, 2336-2343.
- Maria, B. 2012. Protein-based films and coatings. In: Elizabeth A. B., Hagenmaier, R. and Bai, J. (Eds) *Edible coatingsand films to improve food quality*. CRC Press. N. Y. USA. 13-79.
- Marlene, R., Christopher, J. G. and La'szlo', G. 2004. Hyper branched polymer/ montmorillonite clay nanocomposites. *Polym.* 45, 949-960.
- Moura, M. R. and Aouada, F. A. 2009. Improved barrier and mechanical properties of novel hydroxyl propyl methyl cellulose edible films with chitosan/tripolyphosphate nanoparticles. *J. Food Eng.* 92, 448-453.
- Mauricio-Iglesias, M., Peyron, S., Guillard, V. and Gontard, N. 2010. Wheat gluten nanocomposite films as food-contact materials: migration tests and impact of a novel food stabilization technology (high pressure). *J. Appl. Polym. Sci.* 116, 2526-2535.
- Nguyen, Q. T. and Baird, D. G. 2007. An improved technique for exfoliating and dispersing nanoclaysparticles into polymer matrices using supercritical carbon dioxide. *Polym.* 48, 6923-6933.
- Ozcalik, O. and Tihminlioglu, F. 2013. Barrier properties of corn zein nanocomposite coated polypropylene films for food packaging applications. *J. Food Eng.* 114, 505-513.
- Padua, G. W. and Qin W. 2002. Formation and properties of corn zein films and coatings. In: Gennadios, A. (Ed) *Protein-based films and coatings*. CRC Press. N. Y. USA. 43-69.
- Ray, S., Quek, S.Y., Easteal, A. and Chen X. D. 2006. The potential use of polymer-clay nanocomposites in food packaging. *Int. J. Food Eng.* 2(4): 1-13.
- Rhim, J. W. 2007. Natural biopolymer-based nanocomposite films for packaging applications. *Crit. Rev. Food Sci.* 47, 411-433.
- Rhim, J. W., Hong, S. I. and Park, H. M. 2006. Preparation and characterization of chitosan-based nanocomposite films with antimicrobial activity. *J. Agric. Food Chem.* 54, 5814-5822.
- Robinson, D. K. R. and Morrison, M. J. 2010. Nanotechnologies for food Packaging. *Rep. Sci. tech. res. Trends.* 1-14.
- Schmidt, B., Katiyar, V., Plackett, D., Larsen, E. H., Gerds, N., Bender Koch, C and Petersen, J. H. 2011. Migration of nanosized layered double hydroxide platelets from polylactide nanocomposite films. *Food Addit. Contam.* 28(7): 956-966.
- Singh, A., Kojimo, L. and Gilaro, J. 2000. High-temperature polymer/inorganic nanocomposites. US Pat. 6, 057,035.
- Smolander, M. and Chaudhry, Q. 2010. Nanotechnologies in Food Packaging. In: Chaudhry, Q., Castle, L. and Watkins, R. (Eds) *Nanotechnologies in Food*. RSC Press. UK. 86-99.
- Song, N. B., Song, H. Y., Jo, W. S. and Song, K. B. 2013. Physical properties of a composite film containing sunflower seed meal protein and its application in packaging smoked duck meat. *J. Food Eng.* 116, 789-795.

خواص مکانیکی، ممانعتی و حرارتی فیلم های نانو...

- Sorrentino, A. Gorrasi, G. and Vittoria, V. 2007. Potential perspectives of bio-nanocomposites for food packaging applications. *Trends Food Sci. Tech.* 18, 84-95.
- Sothornvit, R. Rhim, J. W. and Hong, S. I. 2009. Effect of nanoclay type on the physical and antimicrobial properties of whey protein isolate/clay composite films. *J. Food Eng.* 91, 468-473.
- Tang, X., Alavi, S. and Herald, H. J. 2008. Barrier and mechanical properties of starch-clay nanocomposite films. *Cereal Chem.* 85(3): 433-439.
- Wang, T., Colver, P. G., Bon, S. A. F. and Keddie, J. L. 2009. Soft polymer and nano-clay supracolloidal particles in adhesives: synergistic effects on mechanical properties. *Soft Mater.* 5, 3842-3849.

Archive of SID

Mechanical, Barrier and Thermal Properties of Zein/Montmorillonite Nanocomposite

Z. Davarpanah*, J. Keramat, N. Hamdami, M. Shahedi and T. Behzad

* Corresponding Author: Ph. D Student, Department of Food Science and Technology, Faculty of Agriculture, Isfahan University of Technology, P. O. Box: 81746-73441, Isfahan, Iran.
Email: z.davarpanahvarnofaderani@gmail.com

Received: 20 February 2015, Accepted: 22 August 2015

The use of nanofillers is a good strategy to improve the properties of biopolymer-based packaging films. The present study prepared zein-based nanocomposite film containing montmorillonite using the solvent casting method. Mechanical, barrier, and thermal properties of the film were investigated. The x-ray diffraction patterns indicated that the composite film has an exfoliated structure. The results showed that the montmorillonite significantly improved the mechanical, barrier, and thermal properties of the zein film. The highest elongation (9.65%) and tensile strength (22.62 MPa) were obtained for the zein nanocomposites containing 0 and 10% montmorillonite, respectively. Increasing the montmorillonite content from 0% to 5% decreased the water vapor permeability of the zein film from 1.73 to 1.23 (28%). This parameter significantly increased (1.93) in film containing 10% montmorillonite. The thermal degradation temperature of zein film increased (from 353 to 373 °C) by increasing the montmorillonite content from 0% to 10%. The results revealed that a small amount of montmorillonite can improve the mechanical and barrier properties of zein film, although uniform dispersion of montmorillonite in the zein network is essential to improving the properties of the film.

Keyword: Montmorillonite, Nanofiller, Nanocomposite Film, Zein